

# طراحی آتن چهارتایی شکافی فشرده با قطبش دایروی برای به کارگیری در گیرنده GPS

ایمان مجیدی<sup>۱</sup>، کارشناسی ارشد، حسین همتی<sup>۲</sup>، کارشناسی ارشد، سیدحسن صدیقی<sup>۳</sup>، استادیار

۱- دانشکده مهندسی برق - موسسه آموزش عالی پویش - ایران - قم - imn.majidi@gmail.com

۲- دانشکده مهندسی برق - دانشگاه علم و صنعت ایران - ایران - تهران - hosein hemmati72@yahoo.com

۳- دانشکده فناوری های نوین - دانشگاه علم و صنعت ایران - ایران - تهران - Sedighy@iust.ac.ir

چکیده: در این مقاله، یک آتن جدید چهارتایی شکافی فشرده برای به کارگیری در گیرنده های GPS ارائه شده است. ساختار آتن از چهار عنصر تشعشعی شکافی نیم طول موج با یک نوار اتصال کوتاه تشکیل شده است که با اختلاف فازی  $90^\circ$  درجه نسبت به یکدیگر تغذیه می شوند. ابعاد آتن ارائه شده  $12 \times 24 \times 24 \text{ mm}^3$  است که در مقایسه با سیار از آتن های ارائه شده تاکنون بسیار کوچکتر است. همچنین آتن پیشنهادی دارای خلوص قطبش راست گرد بسیار خوبی در زوایای افقی است که باعث افزایش احتمال رویت ماهواره های GPS و درنتیجه رسیدن به دقت بهتر در مکان یابی می گردد. علیرغم ساختار فشرده، آتن دارای بهره مناسب  $2.44 \text{ dB}$  است که در مقایسه با سایر آتن های معرفی شده تاکنون، بیشتر است. همچنین یک شبکه تغذیه بسیار فشرده با ساختار چند لایه برای تغذیه مناسب آتن طراحی و ارائه شده است. ساختار ساده، وزن کم، ابعاد فشرده، قطبش دایروی و بهره بالا، این آتن را گزینه بسیار مناسبی برای به کارگیری در گیرنده های GPS قرار داده است.

واژه های کلیدی: آتن چهارتایی، آتن شکافی، فشرده، GPS

## Design of Compact Quadruple Slot Antenna with Circular Polarization for GPS Applications

I. Majidi<sup>1</sup>, Msc student, H. Hemmati<sup>2</sup>, Msc student, S. H. Sedighy<sup>3</sup>, Assistant professor

1- School of Electrical Engineering, Pooyesh Institute of Higher Education, Qom, Iran

2- School of Electrical Engineering, Iran University of Science and Technology, Tehran, Iran

3- Assistant Prof., School of New Technologies, Iran University of Science and Technology, Tehran, Iran, Email: sedighy@iust.ac.ir

**Abstract:** In this paper, a new compact quadruple slot antenna is proposed for GPS applications. This antenna has a right hand circular polarization which is suitable for GPS satellite signal reception. The antenna is formed by four similar slot antenna excited with 90 degree phase difference. The antenna dimension is  $12 \times 24 \times 24 \text{ mm}^3$  which is very compact compared with the references. Moreover, the antenna has a very good right hand polarization in the horizon which increases the GPS accuracy. Also, the antenna gain is  $2.44 \text{ dB}$  at the GPS frequency which is good enough for signal acquisition. These specifications introduce this antenna as a good candidate for GPS applications.

**Keywords:** Quadruple antenna, slot antenna, compact, GPS.

تاریخ ارسال مقاله: ۹۴/۷/۸

تاریخ اصلاح مقاله: ۹۴/۱۰/۱۵ و ۹۴/۱۲/۳

تاریخ پذیرش مقاله: ۹۵/۲/۲۸

نام نویسنده مسئول: سیدحسن صدیقی

نشانی نویسنده مسئول: تهران، دانشگاه علم و صنعت ایران، دانشکده فناوری نوین

## ۱- مقدمه

سیستم‌های ماهواره‌ای ناوبری جهانی از جایگاه بسیار مهمی در دنیا امروز برخوردار هستند. این سیستم‌ها موقعیت، سرعت و زمان را به سادگی و با هزینه بسیار اندک در هر شرایط آب و هوایی در اختیار کاربران روی زمین و یا نزدیک زمین قرار می‌دهند. تنها چیزی که مهم است آن است که گیرنده در اختیار کاربر باستی امکان دریافت سیگنال از چهار ماهواره متفاوت را داشته باشد. اولین بار این سیستم‌ها در دهه ۱۹۹۰ میلادی توسط آمریکا و با ماهواره‌های GPS شروع به کار کردند و با سرعت زیادی رشد و توسعه یافتند. در حال حاضر، در کنار سیستم GPS، سیستم ناوبری گالیله (آروپا)، Glonass (روسیه) و Compass (چین) در حال فعالیت می‌باشند.

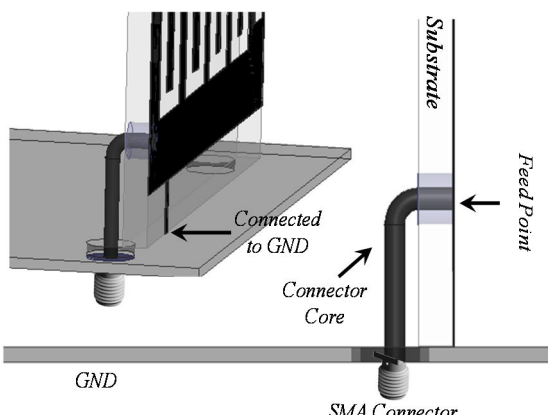
یکی از عنصرهای اصلی و مهم در سیستم‌های مخابراتی بهویژه گیرنده‌های سیستم‌های ناوبری، آنتن است [۱-۳]. یک آنتن مناسب برای این گیرنده‌ها، در کنار ویژگی‌های متقابل آنتن‌ها مانند تطبیق امپدانس در فرکانس کاری و پترن تشعشعی مناسب، بایستی ویژگی‌های دیگری را نیز دارا باشد. از جمله این ویژگی‌ها می‌توان به خلوص قطبش مناسب در زوایای مختلف تشعشعی اشاره کرد. این موضوع باعث خواهد شد تا امکان دریافت سیگنال‌های ماهواره‌های پیش‌تر را داشته باشد. همچنین قدرت مقابله گیرنده با سیگنال‌های چندمسیرگی را نیز افزایش خواهد داد. از طرف دیگر، برای استفاده راحت و آسان کاربر نیاز است تا آنتن ابعاد کوچکی را داشته باشد [۴-۷].

تاکنون آنتن‌های گوناگونی برای کار در سیستم ناوبری GPS معرفی شده‌اند. آنتن‌های حلقوی معرفی شده در [۸] یک نمونه از این آنتن‌ها است که اگرچه ویژگی‌های خوبی را بر گیرنده به همراه دارد، اما ابعاد آن بزرگ بوده و برای کاربردهای نقشه‌برداری با نیاز به دقت مرکز فازی بالا مناسب است. آنتن‌های Pinwheel معرفی شده در [۹] نیز دارای مرکز فازی با تغییرات بسیار اندک بوده که آن را گزینه مناسب برای تعیین موقعیت با دقت‌های بسیار بالا قرار داده است. اما ابعاد آنتن بسیار بزرگ بوده و امکان به کارگیری آن در کاربردهای معمول را کاهش می‌دهد. آنتن موج سطحی کاهش داده شده که در [۱۰] معرفی شده است، خلوص پلاریزاسیون بسیار خوبی را به دست می‌دهد، اما مشابه با آنتن‌های مورد بحث قبلی، علی‌رغم داشتن ساختار ساده و مسطح ابعاد بزرگی دارد. برای کاربردهای معمولی موقعیت‌یابی نیز آنتن‌های مختلفی تاکنون در مراجع معرفی شده است. آنتن مسطح ارائه شده در [۱۱] اگرچه ساختار مسطحی دارد، اما ابعاد آن نسبتاً بزرگ است. در [۱۲] یک آنتن GPS ارائه شده که با استفاده از بازگذاری استabilی و کنده کاری سطح آنتن پچ طراحی گردیده است. این آنتن اگرچه ساختار تغذیه ساده‌ای دارد، اما خلوص قطبش آنتن مناسب نیست. از ساختارهای آنتن چهارتایی مانند آنتن‌های هلیکس و F معرفی شده برای کاربرد GPS استفاده شده است. به عنوان نمونه در [۱۳] آنتن چاپی هلیکس چهارتایی برای دریافت سیگنال GPS ارائه شده است.

## ۲- طراحی و شبیه‌سازی آنتن

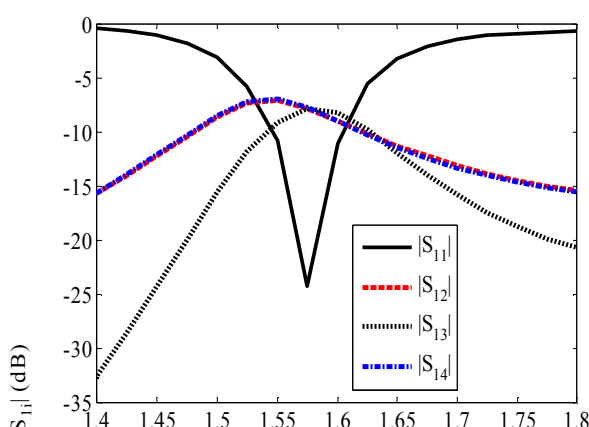
آنتن‌های مرسوم چهارتایی هلیکس و یا چهارتایی F معرفی شده در [۱۴] عنصر تشعشعی همسان تشکیل می‌شوند که با اختلاف مکانی ۹۰ درجه نسبت به یکدیگر در ساختار آنتن جانمایی می‌گردد. برای رسیدن به قطبش دایروی در این آنتن‌ها، تغذیه عنصرها با اختلاف فاز ۹۰، ۱۸۰ و ۲۷۰ درجه در نظر گرفته می‌شود که می‌توان با چرخش جهت افزایش فاز (ساعت‌گرد و پادساعت‌گرد)، فاز نهایی آنتن را به صورت چپ‌گرد و یا راست‌گرد تنظیم نمود. ساختار آنتن پیشنهادی در شکل ۱ نشان داده است. همان طور که مشاهده می‌شود، ساختار کلی آنتن از چهار عنصر تشعشعی مجزا تشکیل شده است که به صورت عمود بر هم و با اختلاف مکانی ۹۰ درجه با فاصله معین از یک صفحه زمین نصب شده‌اند. یک عنصر تشعشعی این آنتن نیز در شکل نشان داده شده است. این عنصر تشعشعی یک شکاف نیم طول موج می‌باشد که بر روی یک صفحه فلزی ایجاد شده است. برای کاهش ابعاد عنصر تشعشعی، شکاف به صورت مارپیچ فرم گرفته است. این صفحه فلزی که توسط یک نوار باریک فلزی به صفحه زمین آنتن وصل شده است. نوار اتصال کوتاه باعث کاهش افزایش مسیر جریان و درنتیجه کاهش

دقیق تنظیم شده‌اند. اثر برخی از این پارامترها و نحوه عملکرد آنتن در بخش بعد به تفصیل مورد بحث و بررسی قرار خواهد گرفت. مقادیر هندسی مرتبط با ساختار آنتن در جدول ۱ ارائه شده است.



شکل ۲: ساختار تغذیه آنتن

نتایج شبیه‌سازی تمام موج آنتن پیشنهادی با ابعاد مندرج در جدول ۱ در ادامه آمده است. در شکل ۳، مقدار  $|S_{11}|$  آنتن نشان داده شده است که نشان‌دهنده تطبیق بسیار خوب آنتن در فرکانس کاری GPS می‌باشد. با توجه به ساختار متقاضان آنتن، مقادیر  $|S_{ii}|$ ‌ها و ضعیت مشابهی دارند. همچنین تزویج متقابل بین پورت یک آنتن و سایر پورت‌ها در این شکل آمده است. همان‌طور که ملاحظه می‌شود، با توجه به نزدیکی شکاف‌های تشعشعی به یکدیگر و نیز ساختار فشرده آنتن، تزویج متقابل بین شکاف‌ها قابل توجه است.

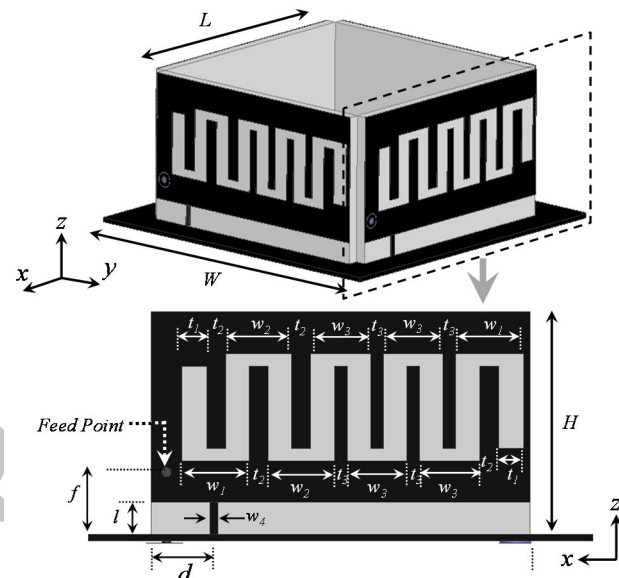


شکل ۳: مشخصه  $|S_{11}|$  آنتن

پترن تشعشعی چپ‌گرد و راست‌گرد آنتن در شکل ۴ در دو زاویه  $\varphi = 90^\circ$  و  $\varphi = 0^\circ$  نشان داده شده است. همان‌طور که در شکل مشاهده می‌شود، آنتن در زوایای نزدیک به افق نیز دارای قطبش دایروی راست‌گرد است که این موضوع برای دریافت سیگنال از ماهواره‌های GPS با زوایای فراز کم بسیار مطلوب می‌باشد و باعث افزایش احتمال رؤیت ماهواره‌ها و درنتیجه افزایش دقت مکان‌یابی خواهد شد. ضمناً با توجه به تقارن ساختار آنتن مشخصات تشعشعی آن در صفحات مختلف یکسان است.

فرکانس تشیدید می‌گردد که در بخش بعد به تفصیل مورد بحث و بررسی قرار گرفته است. به منظور سادگی ساخت و استحکام نسبی مکانیکی، عنصرهای شکافی تشعشعی بر روی صفحات دی‌الکتریک در نظر گرفته‌اند. با توجه به در دسترس بودن و قیمت پایین FR4، از این زیرلایه باضخامت ۱ mm که دارای  $\tan \sigma = 0.02$  و  $\epsilon_r = 4/3$  می‌باشد، استفاده شده است.

ساختار تغذیه آنتن نیز با جزئیات در شکل ۲ نشان داده شده است. همان‌طور که در شکل نشان داده شده است، تغذیه هر عنصر تشعشعی به صورت مجزا و با یک اتصال SMA انجام می‌شود. در حالی که هادی بیرونی اتصال به صفحه زمین آنتن در پایین وصل می‌شود، مغزی آن به نقطه‌ای در روی صفحه فلزی عنصر تشعشعی متصل می‌گردد.



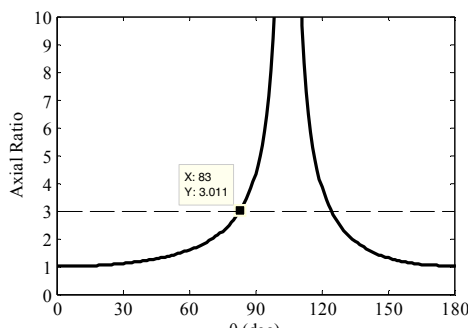
شکل ۱: ساختار آنتن پیشنهادی

جدول ۱: مشخصات طراحی ساختار آنتن

مشخصه	مقدار (mm)
$W$	۳۲
$L$	۲۴
$w_1$	$4/3$
$w_2$	$4/2$
$w_3$	$7/8$
$w_4$	$0/5$
$t_1$	$1/6$
$t_2$	$1/2$
$t_3$	$0/8$
$d$	$3/95$
$l$	۲
$f$	۴
$H$	۱۴

همان‌طور که در شکل ۱ مشاهده می‌شود، پارامترهای زیادی در طراحی آنتن مؤثر می‌باشند. به منظور طراحی آنتن در فرکانس کاری GPS یعنی ۱/۵۷۵ GHz، مقادیر این پارامترها با استفاده از تحلیل‌های انجام شده توسط نرم‌افزار تحلیل تمام موج HFSS به صورت

همچنین نمودار نسبت محوری آنتن در فرکانس  $1575\text{MHz}$  به ازای زوایای فراز مختلف در آنتن در شکل ۶ رسم شده است. همان طور که در شکل مشاهده می‌شود، آنتن به ازای زوایای فراز  $0^\circ$  تا  $83^\circ$  درجه دارای نسبت محوری کمتر از  $3\text{dB}$  می‌باشد که در مقایسه با مراجع مقایسه شده در جدول ۲ وضعیت بهتری دارد. سایر مشخصات آنتن نیز در جدول ۲ به صورت مقایسه‌ای با مراجع ارائه شده است که نشانگر وضعیت عملکردی مطلوب آنتن در مقایسه با آنتن‌های ارائه شده در مراجع است.



شکل ۶: نسبت محوری آنتن به ازای تغییر زوایه فراز

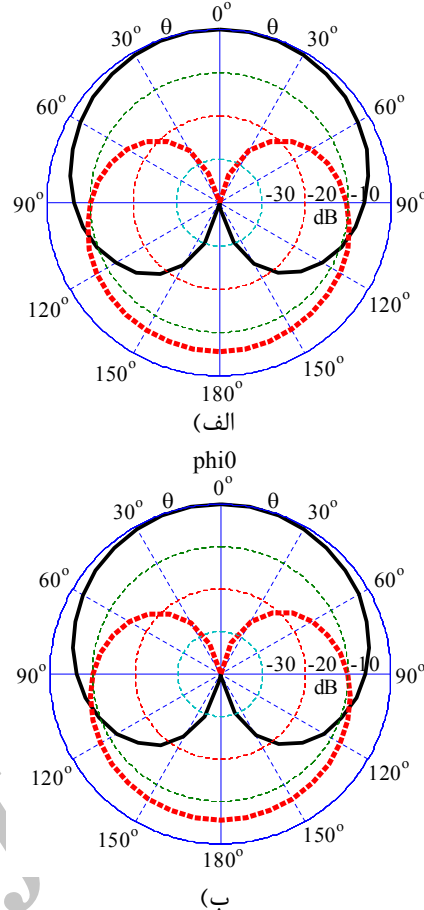
جدول ۲: مقایسه مشخصات آنتن با مراجع

محدوده زاویه‌ای قطبیش با $\text{AR} > 3 \text{ dB}$	بازدھی	بهره $\text{dB}$	ابعاد $\text{mm}$	مرجع
-	٪۳۰	۲	$۵۶ \times ۵۶ \times ۱/۶$	[۱۱]
-	٪۹۸	۶/۶۴	$۱۰۰ \times ۱۰۰ \times ۵$	[۱۲]
۷۰	-	۳	$۵۰ \times ۹۰$	[۱۳]
-	-	۱/۱	$۱۰ \times ۱ \times ۱۰$	[۱۴]
۶۰	-	۲	$۳۵ \times ۳۵ \times ۱۰$	[۱۵]
۸۳	٪۷۳	۲/۴۴	$۲۴ \times ۲۴ \times ۱۲$	مقاله

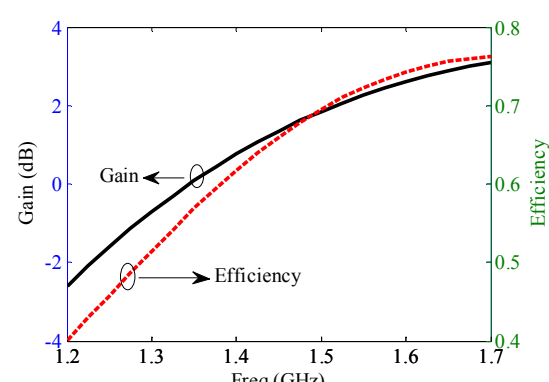
### ۳- تحلیل عملکردی آنتن

همان طور که در بخش قبل نیز اشاره شد، هر عنصر تشعشعی آنتن یک شکاف نیم طول موج است که برای کاهش ابعاد آن به صورت مارپیچ فرم گرفته است. از تئوری شناخته شده آنتن‌های شکافی متداول می‌دانیم که طول شکاف بایستی حدود نیم طول موج باشد. در شکاف مارپیچ پیشنهادی نیز طول کل حدود نیم طول موج در نظر گرفته شده است. ساختار شکاف مارپیچی ارائه شده در طرح پیشنهادی دارای پارامترهای طراحی متعددی است که می‌توان با تنظیم آن‌ها به طول نیم موج موردنظر دست یافت. همان‌طور که در بخش قبل نیز بحث و بررسی شد، مقادیر پارامترهای مختلف آنتن با کمک تحلیل تمام موج برای رسیدن به فرکانس کاری GPS به صورت دقیق بهینه و تنظیم شده‌اند.

برای تحلیل بهتر عملکرد آنتن، در شکل ۷ (الف) توزیع جریان به صورت برداری و مقدار مطلق آن در سطح عنصر تشعشعی به صورت لگاریتمی در حضور سایر عنصرهای شکافی نمایش داده شده است. همان‌طور که در شکل مشاهده می‌شود، از محل اتصال کوتاه دو مسیر جریانی مشابه آغاز شده که با عبور از پیچ و خم‌های ایجاد شده توسعه شکاف

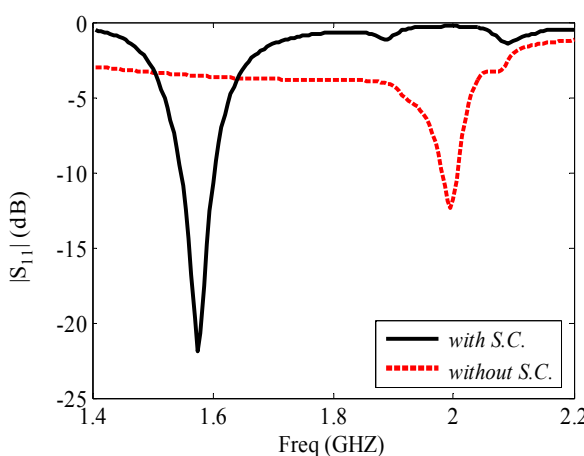


شکل ۷: پتانسیل تشعشعی راست گرد (رنگ مشکی و تپیر) و چپ گرد (رنگ قرمز و خط‌چین)، آنتن: (الف)  $\phi = 0^\circ$ ، (ب)  $\phi = 90^\circ$   
بهره آنتن در فرکانس کاری  $2/44\text{dB}$  است که در مقایسه با مراجع  
مقدار بیشتری است. نمودار بهره و بازدهی آنتن بر حسب فرکانس با  
فرض شبکه تغذیه مناسب در همه فرکانس‌ها نیز در شکل ۵ آمده است  
که نشان‌دهنده بازدهی بیش از ٪۷۳ برای آنتن است.

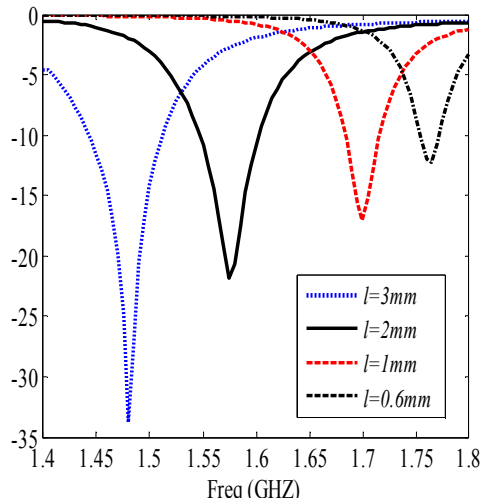


شکل ۸: بهره و بازدهی آنتن GPS پیشنهادی بر حسب فرکانس

ابعاد آنتن طراحی شده  $12 \times 24 \times 24 \text{mm}^3$  است که در مقایسه با آنتن‌های ارائه شده در بیشتر مراجع کوچک است. همان‌طور که مشاهده می‌شود، آنتن طراحی شده در این مقاله، ابعاد کوچکی در مقایسه با مراجع دارد. اگرچه ابعاد آنتن ارائه شده در [۱۴] کوچک‌تر از آنتن پیشنهادی است، اما بهره آنتن از آنتن پیشنهادی کمتر است.

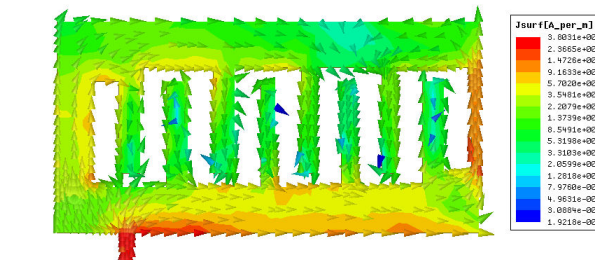
شکل ۸: پاسخ  $|S_{11}|$  آنتن با و بدون نوار اتصال کوتاه

با توجه به آنکه ساختار آنتن بسیار کوچک بوده ممکن است خطاهای احتمالی در فرآیند ساخت آنتن مانع از رسیدن به فرکانس دقیق تشدید موردنیاز GPS یعنی  $1/\sqrt{575}$  GHz گردد. با توجه به بحث انجام شده پیرامون اثر اتصال کوتاه، می‌توان با کوتاه و بلند کردن نوار اتصال کوتاه این فرکانس را به صورت دقیق تنظیم نمود. برای درک بیشتر موضوع، نمودار تعییرات  $|S_{11}|$  آنتن به ازای تغییر طول نوار اتصال کوتاه در شکل ۹ نشان داده شده است. همان‌طور که در این شکل نیز مشاهده می‌شود، افزایش طول این نوار، باعث افزایش طول مؤثر مسیر جریانی شده که نهایتاً فرکانس تشدید آنتن را کاهش داده است.

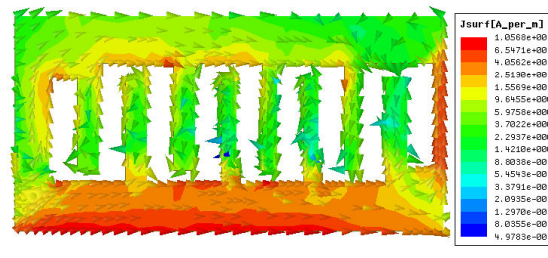
شکل ۹: پاسخ  $|S_{11}|$  آنتن به ازای تغییر طول نوار اتصال کوتاه

یکی دیگر از پارامترهای مهم در طراحی آنتن ابعاد صفحه زمین آن است. در شکل ۱۰ اثر تغییر ابعاد صفحه زمین بر روی فرکانس تشدید آنتن ارائه شده است. همان‌طور که در شکل مشاهده می‌گردد، افزایش ابعاد زمین آنتن، فرکانس تشدید آن کاهش می‌یابد. همان‌طور که قبل نیز اشاره شد، در آنتن پیشنهادی، مقدار  $\tilde{W} = 32$  mm برای عرض زمین آنتن در نظر گرفته شده است.

مارپیچ و طی مسیر نیم‌طول موج به همدیگر می‌رسند. البته دی‌الکتریک قرارگرفته در زیر شکاف باعث کوچک‌تر شدن طول موج خواهد شد. همچنین اثر تزویج متقابل سه شکاف تشعشعی دیگر نیز تعییراتی را در الگوی جریان ایجاد خواهد کرد.



(الف)

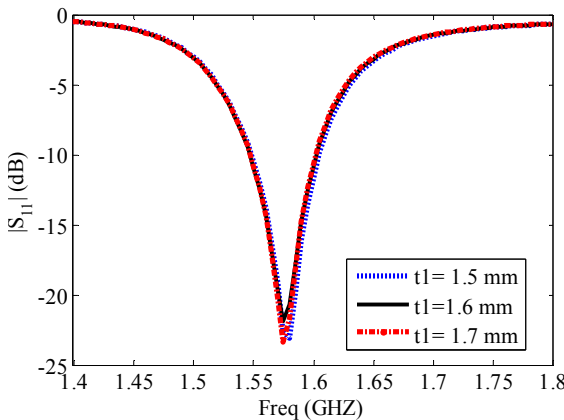
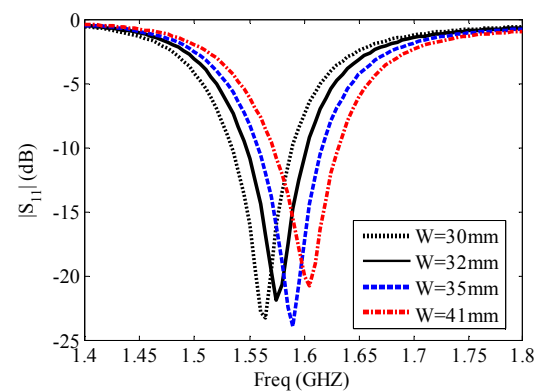


(ب)

شکل ۷: توزیع جریان در سطح عنصر تشعشعی شکافی؛ (الف) با نوار اتصال کوتاه، (ب) بدون نوار اتصال کوتاه

نکته حائز اهمیت دیگر نقش نوار اتصال کوتاه قرارگرفته در بخش پایینی شکاف است. به منظور تحلیل دقیق‌تر اثر این اتصال کوتاه، ساختار آنتن بدون وجود اتصال کوتاه شبیه‌سازی شده است که توزیع جریان بر روی یک عنصر تشعشعی شکافی در شکل ۷ (ب) نشان داده شده است. همان‌طور که در شکل مشاهده می‌گردد، جریان با عبور از پیچ و خم‌های ایجاد شده توسط شکاف مارپیچ، مسیر طولانی‌تری را طی کرده و رفتار نسبتاً مشابه با حالت قبل (با نوار اتصال کوتاه) دارد. اما تفاوت اصلی در طول موثر این مسیر است. اگر این دو توزیع مسیر جریانی مقایسه شوند مشخص می‌گردد که هر دو بردار جریانی از بخش اتصال کوتاه شروع می‌شوند. به عبارت دیگر بخش اتصال کوتاه ایجاد شده توسط نوار باعث افزایش طول مسیر جریانی و درنتیجه کاهش فرکانس تشدید شکاف خواهد شد. این بدان معناست که برای رسیدن به فرکانس تشدید پایین‌تر نیازی به افزایش ابعاد آنتن نبوده و می‌توان با طول این نوار اتصال کوتاه، فرکانس را تغییر داد. برای اطمینان بیشتر از این تحلیل، نمودار  $|S_{11}|$  آنتن با و بدون نوار اتصال کوتاه نیز در شکل ۸ نشان داده شده است. همان‌طور که مشاهده می‌گردد، آنتن بدون نوار اتصال کوتاه در فرکانس  $2\sqrt{575}$  GHz تشدید دارد، در حالی که با افزوده شده نوار اتصال کوتاه با طول معین، فرکانس تشدید به فرکانس پایین‌تر  $1/\sqrt{575}$  GHz تغییر پیدا می‌کند.

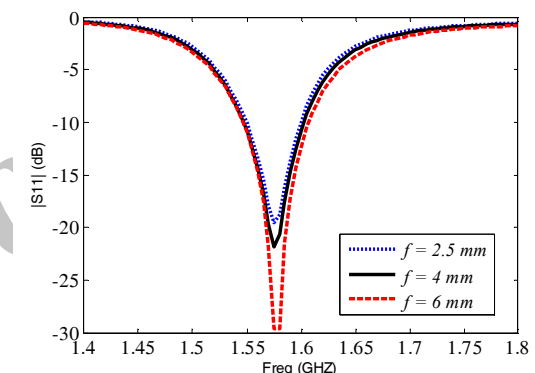
در انتهای نیز تغییر رفتار آنتن به ازای تغییر پارامتر  $t_1$  آنتن در شکل ۱۳ نشان داده شده است. همان‌طور که مشاهده می‌شود تغییر جزئی این پارامتر که از خطاهای احتمالی ساخت ناشی می‌شود در مشخصه آنتن تأثیر خاصی ندارد. لازم به ذکر است که آنتن به ازای تغییر جزئی پارامترهای  $t_2$  و  $t_3$  نیز رفتار مشابهی دارد.

شکل ۱۳: پاسخ |S11| آنتن به ازای تغییر پارامتر  $t_1$ 

شکل ۱۰: پاسخ |S11| آنتن به ازای تغییر عرض زمین

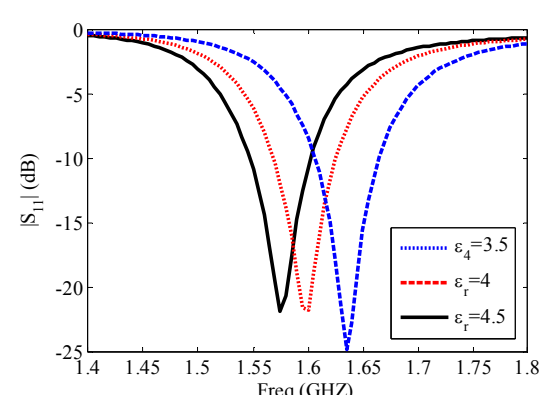
تغییر محل تغذیه آنتن بر روی الگوی تشعشعی آن اثر ناچیزی داشته و تنها باعث تغییر فرکانس کاری می‌گردد که در شکل ۱۱ نشان داده شده است. همان‌طور که مشاهده می‌شود، اثر تغییر محل تغذیه تأثیر چندانی بر فرکانس کاری آنتن ندارد و تنها اندکی باعث بهتر شدن طبیق امپدانس ورودی می‌گردد.

**۴- شبکه تغذیه آنتن**  
با توجه به ساختار آنتن، نیاز به یک شبکه تغذیه برای ترکیب کردن توان دریافتی توسط هر یک از عنصرها با اختلاف فاز مناسب ضروری می‌باشد. به این منظور نیاز به یک المان ترکیب‌کننده توان در باند L1 داریم که بایستی پس از اعمال فازهای  $0^\circ$ ,  $90^\circ$ ,  $180^\circ$  و  $270^\circ$  درجه به سیگنال‌های ورودی از عناصر تشعشعی، آن‌ها را بایکدیگر ترکیب کرده و برای انتقال به گیرنده GPS آماده کنند. برای ترکیب توان دریافتی توسط چهار عنصر تشعشعی، از یک ترکیب‌کننده صفحه‌ای  $4 \times 4$  به ۱ مسطح استفاده شده است [۱۶]. در ساختار این ترکیب‌کننده توان، از چهار خط انتقال مشابه ربع طول موج با امپدانس مشخصه  $100\Omega$  اهم استفاده شده است که درگاه‌های ورودی‌های آن با سه مقاومت  $70\Omega$ ,  $7\Omega$  و  $700\Omega$  می‌شوند. به منظور ایجاد جایجایی فازهای موردنیاز، از خطوط انتقال فرکانس کاری آنتن می‌گردد. همچنین نتایج شبیه‌سازی نشانگر آن است که تغییر ضریب دی‌الکتریک باعث تغییرات ناچیزی در مشخصات تشعشعی آنتن می‌شود.



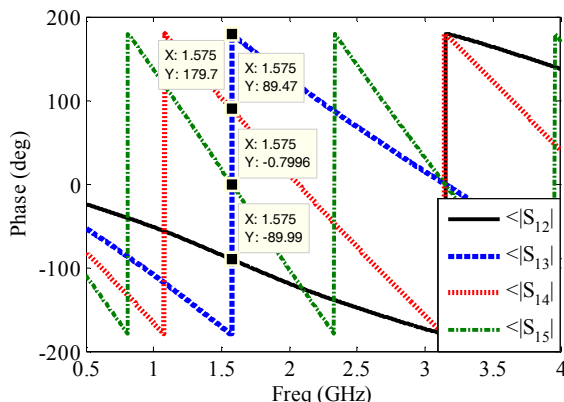
شکل ۱۱: پاسخ |S11| آنتن به ازای تغییر محل تغذیه

با توجه به آنکه بردهای FR4 موجود در بازار دارای مقدار ضریب دی‌الکتریک دقیقی نمی‌باشند، اثر تغییر ضریب دی‌الکتریک بر روی رفتار آنتن نیز مورد بررسی قرار گرفته است. همان‌طور که در شکل ۱۲ نشان داده شده است، تغییر ضریب دی‌الکتریک باعث تغییر اندک فرکانس کاری آنتن می‌گردد. همچنین نتایج شبیه‌سازی نشانگر آن است که تغییر ضریب دی‌الکتریک باعث تغییرات ناچیزی در مشخصات تشعشعی آنتن می‌شود.



شکل ۱۲: پاسخ |S11| آنتن به ازای تغییر ضریب دی‌الکتریک

همچنین نتایج ارائه شده در شکل ۱۶ وجود اختلاف فاز ۰، ۹۰، ۱۸۰ و ۲۷۰ درجه بین درگاههای ورودی را تأیید می‌کند.



شکل ۱۶: نتایج شبیه‌سازی فاز ورودی برای شبکه تغذیه

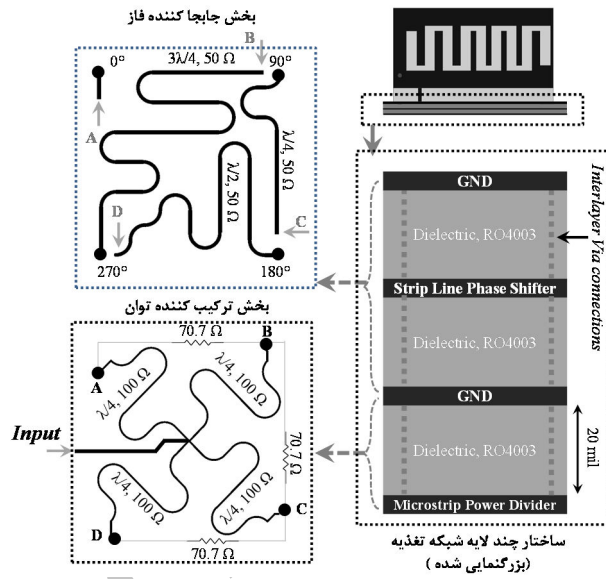
##### ۵- نتیجه

در این مقاله، یک آنتن جدید چهارتایی فشرده برای به کارگیری در گیرندهای GPS طراحی و ارائه شد. آنتن پیشنهادی دارای چهار شکاف تشعشعی نیم طول موج می‌باشد که با اختلاف مکانی ۹۰ درجه از یکدیگر قرار دارند. ابعاد آنتن طراحی شده  $122 \times 24 \times 24 \text{ mm}^3$  است که در مقایسه با آنتن‌های ارائه شده در بیشتر مراجع کوچک می‌باشد. به علاوه آنتن دارای قطبش راست‌گرد در زوایای نزدیک به افق است که باعث افزایش دقیق مکان‌بایی گیرنده می‌گردد. همچنین، نحوه عملکرد آنتن بر اساس توزیع جریان سطحی آن به صورت مشروح مورد بحث و بررسی قرار گرفته است. در انتهای نیز یک شبکه تغذیه فشرده با ساختار چندلایه برای تغذیه مناسب آنتن طراحی شده است. ابعاد کوچک، قطبش دایروی، وزن کم و سادگی ساخت آنتن باعث شده است تا آنتن پیشنهادی گزینه خوبی برای به کارگیری در سیستم GPS باشد.

##### مراجع

- [۱] فرهاد خسروی افوسی، محمدتقی آذرمنش و جواد نوری‌نیا، «به کارگیری ساختارهای EBG به منظور افزایش پهنای باند و دایرکتیویتی آنتن میکرواستریپ»، مجله مهندسی برق دانشگاه تبریز، دوره ۴۳، شماره ۲، صفحه ۱-۸، ۱۳۹۲.
- [۲] آزاده ایمانی، جواد نوری‌نیا و چنگیز قبادی، «آنتن دایورسیتی مسطح جدید پهن‌باند جهت استفاده در ارتباطات سیار»، مجله مهندسی برق دانشگاه تبریز، دوره ۴۰، شماره ۲، صفحه ۱۹-۱۳۸۹.
- [۳] زهرا حبیبی، مرتضی کازرونی، سیدحسین محسنی ارمکی و عماد حمیدی، «ارائه یک روش کاربردی جهت کالیبراسیون آنتن‌های آرایه فازی»، مجله مهندسی برق دانشگاه تبریز، دوره ۴۵، شماره ۴، صفحه ۷۹-۸۴، ۱۳۹۴.
- [۴] A. El-Rabbany, *Introduction to GPS: The Global Positioning System*, Artech House, 2002.

پایینی‌ترین لایه، دربردارنده مدار مایکرواستریپ ترکیب‌کننده توان ۴ به ۱ است. بخش ترکیب‌کننده توان به صورت مایکرواستریپ طراحی شده است که اتصال آن به بخش جابجاکننده فاز به صورت مشابه با اتصال آنتن به بخش جابجاکننده فازی در نظر گرفته شده است. جزئیات بیشتر طرح در شکل ۱۴ نشان داده شده است.

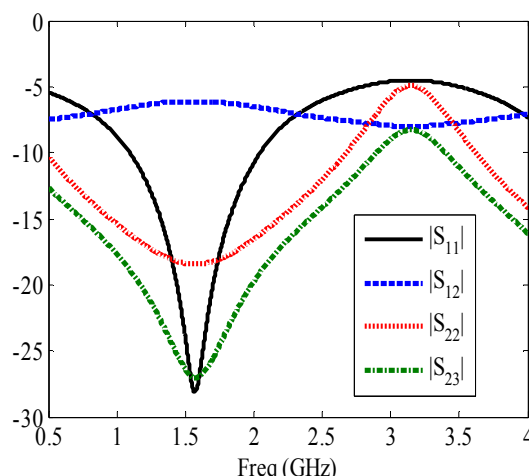


شکل ۱۴: شبکه تغذیه آنتن

نتایج شبیه‌سازی پارامترهای S طرح پیشنهادی شبکه تغذیه در شکل ۱۵ نشان داده شده است. همان‌طور که مشاهده می‌شود طرح پیشنهادی دارای تطبیق امپدانس ( $|S_{ii}|$ ) و جداسازی مناسبی بین درگاههای ورودی آن ( $|S_{ij}|$ ) در فرکانس کاری GPS است.

جدول ۳: مشخصات طراحی شبکه تغذیه آنتن

مشخصه	مقادیر (mm)
عرض خطوط ۵۰ اهم	۰/۵۵
طول خط $\lambda/4$ با امپدانس مشخصه ۵۰ اهم	۲۵/۹۶
عرض خطوط ۱۰۰ اهم	۰/۲۹۶
طول خط $\lambda/4$ با امپدانس مشخصه ۷۰ اهم	۳۰/۵۶



شکل ۱۵: نتایج شبیه‌سازی پارامتر S برای شبکه تغذیه

- [5] B. Hofmann-Wellenhof, H. Lichtenegger, and E. Wasle, *GNSS—Global Navigation Satellite Systems: GPS, GLONASS, Galileo, and More*, Springer Science & Business Media, 2007.
- [6] P. D. Groves, *Principles of GNSS, Inertial, and Multisensor Integrated Navigation Systems*, Artech House, 2013.
- [7] B. R. Rao, *GPS/GNSS Antennas*, Artech House, 2013.
- [8] F. Scire-Scappuzzo, and S. N. Makarov, “A low-multipath wideband GPS antenna with cutoff or non-cutoff corrugated ground plane,” *Antennas and Propagation, IEEE Transactions on*, vol. 57, no. 1, pp. 33-46, 2009.
- [9] W. Kunysz, “High performance GPS pinwheel antenna,” *Proceedings of the 2000 International Technical Meeting of the Satellite Division of the Institute of Navigation (ION GPS 2000)*, 2000.
- [10] L. I. Basilio, *et al.*, “A comparative study of a new GPS reduced-surface-wave antenna,” *Antennas and Wireless Propagation Letters, IEEE*, vol. 4, pp. 233-236, 2005.
- [11] B. Y. Lee, *et al.*, “A corner-fed square ring antenna with an L-shaped slot on ground plane for GPS application,” *Progress In Electromagnetics Research C*, vol. 41, pp. 111-120, 2013.
- [12] A. A. Heidari, M. Heyrani, and M. Nakhkash, “A dual-band circularly polarized stub loaded microstrip patch antenna for GPS applications,” *Progress In Electromagnetics Research*, vol. 92, pp. 195-208, 2009.
- [13] S. Q. Fu, *et al.*, “Printed quadrifilar helix antenna with integrated feed network,” *Microwave, Antenna, Propagation and EMC Technologies for Wireless Communications, 3rd IEEE International Symposium on, IEEE*, 2009.
- [14] L. Zheng, and S. Gao “Compact dual-band printed square quadrifilar helix antenna for global navigation satellite system receivers,” *Microwave and Optical Technology Letters*, vol. 53, no. 5, pp. 993-997, 2011.
- [15] H. S. Tae, *et al.*, “Design of compact dual-band quadruple inverted-F/L antenna for GPS L1/L2 band,” *Antennas and Propagation, IEEE Transactions on*, vol. 61, no. 4, pp. 2279-2279, 2013.
- [16] A. A. M. Saleh, “Planar electrically symmetric n-way hybrid power dividers/combiners,” *IEE Transaction on Microwave Theory And Techniques*, vol. MTT-28, pp. 555-563, 1980.